

Долдудко Александр Иванович
Ведущий специалист НИЦ МКВК
Худайкулов Совет Ишанкулович
д.т.н., профессор, зав. лабораторией
НИИ Ирригации и водных проблем

МОДЕЛИРОВАНИЕ ПОДПИТКИ НАДПОЙМЕННЫХ ТЕРРАС ПРИ СЛОЖНОМ РЕЖИМЕ СОЛЕПЕРЕНОСА СЫРДАРЬИНСКОЙ ОБЛАСТИ

Аннотация. В данной статье приведена краткая информация о моделировании подпитки надпойменных террас при сложном режиме солепереноса старой зоны Голодной степи. Математическая модель, использованная для обработки данных, представляет систему дифференциальных уравнений переноса.

Ключевые слова. Моделирование, режим солепереноса, фильтрация, интеграл Лапласа, Сырдарьинская область.

Dolidudko Aleksandr Ivanovich
Leading specialist of the SIC ICWC
Khudaykulov Savet Ishankulovich

Doctor of Technical Sciences, Professor, Head of Laboratory
Scientific-Research Institute of Irrigation and Water Problems

MODELING OF REFRESHMENT OF FLOODPLAIN TERRACES IN COMPLEX SALT TRANSFER REGIME IN SYRDARYA REGION

Abstract. This article provides brief information on modeling the recharge of floodplain terraces under a complex salt transfer regime of the old zone of the Hungry Steppe. The mathematical model used for data processing is a system of differential transfer equations.

Keywords. Modeling, salt transfer mode, filtration, Laplace integral, Syrdarya region.

Ведение. Земли Сырдарьинского и Мирзаабадского районов находятся в западной части старой зоны Голодной степи. В геоморфологическом отношении они расположены на поверхности I-ой, II-ой, III-ей надпойменных террас р.Сырдарьи и Шурузякского понижения. В рельефе выделяются пролювиальные равнины конусов выноса и возвышенная равнина, которая с юго-востока на северо-запад пересекается крупными понижениями: Джетисайским, Сардабинским, Карайским, Шурузякским и более мелкими.

Голодностепская межгорная равнина представляет собой сложную тектоническую впадину в палеозойской зоне заполненную меловыми палеогеновыми, неогеновыми и четвертичными отложениями. Основной интерес представляют четвертичные отложения и неогеновые, являющиеся региональным водоупором. Поэтому для исследования требуется более сложные методы надежности эксплуатации коллектора для улучшения мелиоративного состояния орошаемых земель [1,2,4].

Материалы и методы. Более сложных гетерогенных моделей (например, с учетом гидродисперсии) целесообразно использовать оптимизационный подбор с минимизацией некоторой функции качества.

Голодностепский (верхнечетвертичный) комплекс отложений представлен, в основном, лессовидными супесями, реже суглинками с прослойками песков и галечников. Применяем для расчёта работоспособности открытого горизонтального дренажа способ обработки для анализа данных проведенного К.Ницше опыта по фильтрации в суглинками с прослойками песков и галечниковой колонне длиной $l=120\text{ см}$ и диаметром 20 см при постоянной скорости фильтрации $\vartheta=3,6\cdot 10^{-3}\frac{\text{см}}{\text{сек}}$. В этом опыте с начала опыта во входном сечении подавался раствор CaCl_2 постоянной концентрации с мигрантом $^{45}\text{Ca}^{2+}$, а

на выходе были получены следующие данные изменения относительной концентрации во времени [3,4]:

Таблица 1

\bar{c}	0,09	0,35	0,51	0,63	0,73	0,81	0,86	0,9	0,93
$t, 10^\circ \text{C}$	0,67	1,00	1,33	1,67	2,00	2,33	2,67	3,00	3,33

Математическая модель, использованная для обработки этих данных, представляется системой дифференциальных уравнений переноса:

$$u_0 \frac{\partial c}{\partial t} + \vartheta \frac{\partial c}{\partial l} + k_1 c - k_2 c^i - k_3 c^i = D \frac{\partial^2 c}{\partial l^2} \quad (1)$$

$$k_1 c - k_2 c^i = k_4 \frac{\partial c^i}{\partial t} \quad (2)$$

Где $k_1 = k_2 c^i = \alpha^i$, $k_3 = \beta^i$, α^i , c^i - диффузионные и конвективные составляющие скорости фильтрации.

При $k_3 = 0$ была принята гетерогенная модель с сосредоточенной емкостью блоков, в которой роль слабопроницаемых блоков выполняли застойные зоны. Обмен между проводящими и застойными зонами описывается уравнением (1) с различными скоростями прямого и обратного обмена ($k_1 \neq k_2$), а сорбционные процессы считаются равновесными и учитываются заданием величин:

$$k_4 = n_0^i + K_{d^i}$$

(где n_0 и n_0^i - активная пористость проводящих и застойных зон; K_{d^i} и K_{d^i} — коэффициенты распределения для проводящих и застойных зон).

Входящие в уравнения (1) и (2) параметры $D, \vartheta, n_0, n_0^i, K_d, K_{d^i}, k_1, k_2$ обобщаются в пять независимых переменных:

$$\chi_1 = \frac{D}{n_\varepsilon}, \quad \chi_2 = \frac{\vartheta}{n_\varepsilon}, \quad \chi_3 = \frac{k_1}{n_\varepsilon},$$

$\chi_4 = \frac{k_3}{n_3}$ и $\chi_5 = \frac{n_3}{n_3^i}$ при $n_3 = n_0 + K_d$ и $n_3^i = n_0^i + K_d^i$, введя которые, напишем уравнения (1) и (2) в виде:

$$\chi_1 \frac{\partial^2 c}{\partial l^2} - \chi_2 \frac{\partial c}{\partial l} = \frac{\partial c}{\partial t} + \chi_3 c - \chi_4 c^i \quad (3)$$

$$\frac{\partial c^i}{\partial t} = \chi_3 \chi_5 c - \chi_4 \chi_5 c^i$$

Если подвергнуть эти уравнения преобразованию Лапласа, то независимая переменная t переходит в параметр Лапласа $s, L\left[\frac{\partial c}{\partial t}\right] = sC$ при $c(t=0)=0$ и система дифференциальных частных уравнений (3) переходит в обыкновенное дифференциальное уравнение:

$$\chi_1 \frac{\partial^2 C}{\partial l^2} - \chi_2 \frac{\partial C}{\partial l} = s \left(1 + \frac{\chi_3}{s + \chi_4 \chi_5} \right) C \quad (4)$$

которое приводится к безразмерному виду

$$\frac{1}{Pe} \frac{\partial^2 \bar{C}}{\partial \xi^2} - \frac{\partial \bar{C}}{\partial \xi} = s^i \left(1 + \frac{\alpha_1}{s^i + \alpha_2} \right) \bar{C}, \quad Pe = \frac{\vartheta l_0}{D}, \quad \bar{C} = \frac{C}{C_0} \quad (5)$$

$$\xi = \frac{l}{l_0}, \quad \alpha_1 = \frac{k_1 l_0}{\vartheta}, \quad \alpha_2 = \frac{k_2 l_0}{\vartheta} \frac{n_3}{n_3^i}, \quad \frac{1}{\tau} = \frac{t}{t^i} = \frac{s}{s^i} = \frac{n_3 l_0}{\vartheta}$$

Безразмерные параметры для различных вариантов

Таблица 2

Вариант	Pe	α_1	α_2
1	20	2,0	1,0
2	50	1,0	0,5
3	50	1,5	1,5
4	50	3,0	0,5
5	50	1,0	1,5
$\tau = n \cdot 10^{-4} c^{-1} \frac{\vartheta l_0}{D}$ при n равном	1	0,5	1,5

Аналитические решение уравнения и его обратная трансформация в область оригинала представляются выражениями:

$$C = e^{-\alpha t}$$

При условиях $C(0) = 1$ и $C(\infty) = 0$ где α находится из уравнения:

$$\alpha = \sqrt{\left(\frac{\vartheta}{2D}\right)^2 + \frac{n_0 p + k}{D}} - \frac{\vartheta}{2D} \quad (6)$$

Для его компьютерной оценки используется программа *ALSUB-3*. [5,6].

Исходя из понимания процесса, оцениваются значения параметров

для крупнозернистого песка при скорости фильтрации $\vartheta = 3,6 \cdot 10^{-5} \frac{M}{c}$

длине колонны $l_0 = 1,2 \text{ м}$: $Pe = \frac{\vartheta l_0}{D} = \frac{l_0}{\delta_1} \approx 50$, $\alpha_1 = \frac{k_1 l_0}{\vartheta} = 2,0$ (при известном

на основании аналогичных опытов значения ($k_1 = 6 \cdot 10^{-5} c$); (при $k_1 = k_2$ и $\frac{n_2}{n_3} = 0,5$); $\tau = 1 \cdot 10^{-4}, c^{-1}$ (при $n_0 = 0,1$ и $K_d = 0,2$).

Проверка метода интерпретации опытных данных по уравнению (4) и анализ его чувствительности при $\xi = 1$ могут быть представлены несколькими вариантами (табл.2).

На рис.1. приведены расчетные варианты представления измеренных величин $\bar{c} = f(Pe, \alpha_1, \alpha_2, t^i)$, соответствующие трем выбранным значениям τ .

Если в качестве абсциссы для представления вариантов расчетов выбраны $\lg t^i$, а для опытных данных $\lg t$, то параметр τ можно приближенно определить путем смещения по горизонтали до наилучшего совпадения измеряемых величин с эталонной кривой для достаточно

большого семейства кривых вида $\bar{c} = f(Re, \alpha_1, \alpha_2, \lg t^i)$. Для рассматриваемого примера получается $\tau = 1,4 \cdot 10^{-4}, c^{-1}$.

Сравнение вариантов, представленных на рис.1., а также вариантов с различными значениями Re показывает, что область чувствительности рассматриваемого примера для Re и α_1 находится в диапазоне $0 < \bar{c} < 0,1$ или $3 \cdot 10^3 c < t < 6 \cdot 10^3$, а для α_1 и α_2 в диапазоне $0,3 < \bar{c} < 0,9$, $0,3 < c < 0,9$ или $1 \cdot 10^4 c < t$. Соответственно, эти области должны быть надежно подтверждены опытными данными.

В качестве функции качества F_k была использована наиболее простая форма:

$$F_k = \sum g_i (c_i - c_{m_i}) = \min$$

где g_i - весовой коэффициент; c_i и c_{m_i} — измеренное и модельное значение c в момент времени t_i . Можно считать значение весового коэффициента $g_i = 1$, если в качестве c_i используются равноотстоящие значения субъективно выравненной кривой опытных данных. Функция качества F_k должна быть чувствительной к идентифицируемым параметрам, а в области рациональных параметров (идентификации или поисковой области) по возможности иметь только один минимум и достаточно большие градиенты в направлении этого минимума в качестве меры чувствительности. Очень нагляден такой анализ для двух идентифицируемых параметров, проводимый путем графического изображения изолиний функции качества. Если в предлагаемом примере

исходить из того, что $\tau = \frac{t^i}{t}$ с достаточной точностью идентифицировалось с помощью эталонных кривых, то возможен анализ функций $F_k = f(Re, \alpha_1)$ и $F_k = f(\alpha_1, \alpha_2)$. На рис.2. приведены

соответствующие данные, обнаруживающие достаточную чувствительность всех трех параметров в поисковой области [4,5].

Идентификация происходит по схеме, показанной на рис.3. Если τ недостаточно точно определено по графику на рис.1. то производится поиск и этого параметра. Начальные значения оцениваются по данным, приведенным на рис. 1. (например, $Pe=50$; $\alpha_1=1,0$; $\alpha_2=1,5$). Для решения этой задачи составляется компьютерная программа.

Таким путем, например, при $\tau=n \cdot 10^{-4} c^{-1}$ находят (см. рис.1.) $\alpha_1=1,51$; $\alpha_2=1,41$; $Pe=53$. Расчетная функция, вычисленная при этих параметрах по программе *ALSUB-3*, приведена на рис.1., где наглядно показана репрезентантность идентифицированных параметров.

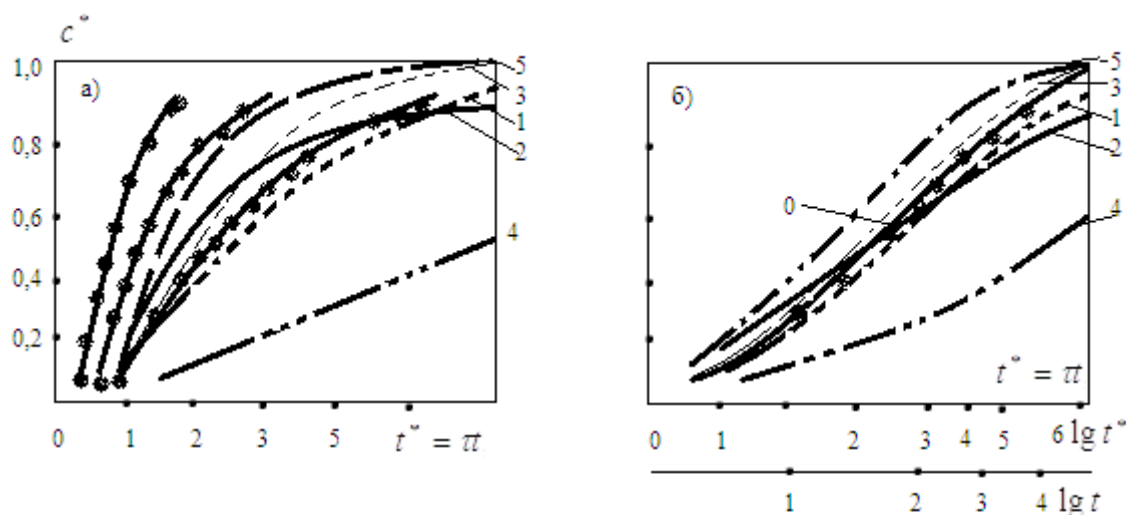


Рис. 1. Графическое выражение вариантов расчетов выходной кривой относительной концентрации с трассером $^{45}Ca^{2+}$ при:
 а) $c^i f(Pe, a_1, a_2, \lg t^i)$ $Pe=50$ $\xi=1,0$ $\tau_1=0,5 \cdot 10^{-4} c^{-1}$
 $\tau_2=1,0 \cdot 10^{-4} c^{-1}$ $\tau_3=1,5 \cdot 10^{-4} c^{-1}$
 б) $c^i f(Pe, a_1, a_2, \lg t^i)$ $\xi=1,0$ $\tau_1=1,4 \cdot 10^{-4} c^{-1}$ 1,2,3,4,5 – номера вариантов; 0 – опытные данные.

Конечно, получение восьми модельных миграционных параметров из четырех идентифицированных возможно только в тех случаях, когда представлены четыре дополнительные информации.

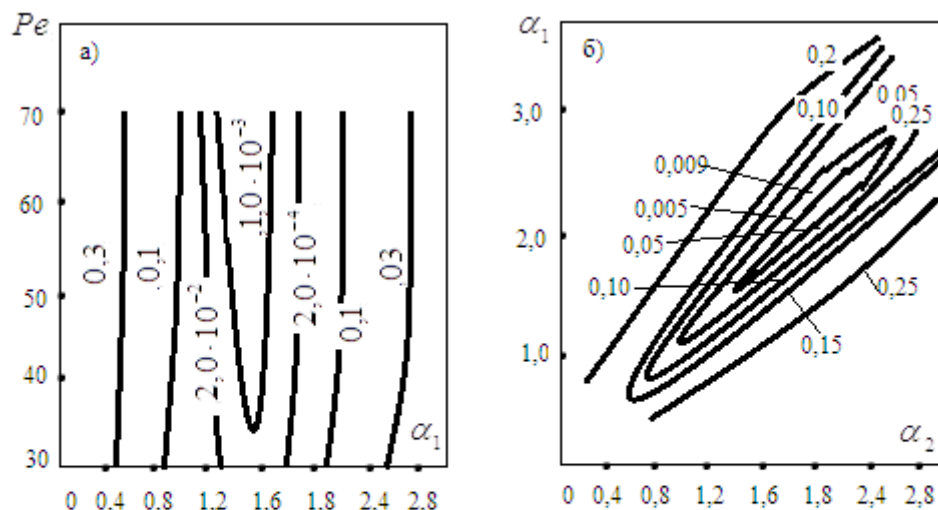


Рис. 2. Графики функции качества F_k при изменении параметров Pe , a_1 , a_2

а) $a_1=1,5$ $\xi=1,0$ $\tau_1=1,4 \cdot 10^{-4} \cdot c^{-1}$

б) $Pe=50$ $\xi=1,0$ $\tau_1=1,4 \cdot 10^{-4} \cdot c^{-1}$

В предлагаемом случае можно исходить из того, что значение ϑ может быть достаточно точно измерено и поэтому известно, а также принять $k_1=k_2$ (поскольку молекулярная диффузия является симметричным процессом).

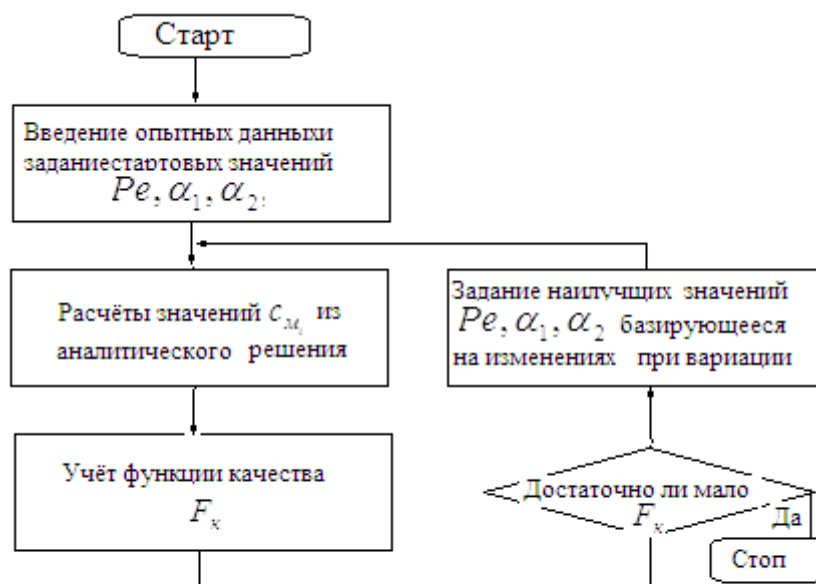


Рис. 3. Блок-схема плана идентификации миграционных параметров

Далее можно предположить, что по отдельности определяются n_0 и $\frac{n_0}{n_0^i}$ (по данным выхода анионов).

Исходные данные: При $\vartheta = 3,6 \cdot 10^{-3} \frac{M}{c}$, $k_1 = k_2$, $n_0 = 0,09$, $\frac{n_3}{n_3^i} = 1,1$ и $l_0 = 0,2$, исходя из идентифицированных значений $\tau = 1,4 \cdot 10^{-4} c^{-1}$, $\alpha_1 = 1,51$; $\alpha_2 = 1,41$; и $Pe = 53$, получают восемь миграционных параметров:

$$D = \frac{\vartheta l_0}{Pe} = 0,82 \cdot 10^{-6} \frac{M^2}{c}, \text{ или } \delta_1 = \frac{D}{\vartheta} = 0,023 M, k_1 = k_2 = \frac{\alpha_1 \vartheta}{l_0} = 4,5 \cdot 10^{-5} c^{-1},$$

$$n_0 = 0,09, \quad n_0^i = \frac{n_0}{1,1} = 0,08, \quad K_d = \frac{\vartheta}{l_0 \tau} - n_0 = 0,12, \quad K_d^i = \frac{n_3 k_2 l_0}{\vartheta \alpha_2} - n_0^i = 0,14, \text{ т.е.}$$

$$n_3 = 0,21 \text{ т.е. и } n_3^i = 0,22.$$

Другие дополнительные предположения приводят к несколько иным результатам интерпретации.

Заключение и выводы.

1. Проведенные исследования в Голодностепский межгорной равнины представляет собой сложную тектоническую впадину в палеозойской зоне заполненную меловыми палеогеновыми, неогеновыми и четвертичными отложениями. Методы надежности эксплуатации коллектора в песчаных пластах, по предлагаемой схеме послойного переноса имеет широкую область применения и может давать существенные погрешности только в потоках очень большой длины (порядка километра и более), а также в слоистых пластах, представленных породами, может быть $\delta_T = 0,1 - 1 M$.

2. Для математического описания сложной тектонической впадины в палеозойской зоне заполненной меловыми палеогеновыми, неогеновыми и четвертичными отложениями, обусловленной различными

видами фильтрационной неоднородности пород и пластов, широкое распространение получило представление о возможности использования аналогии микронеоднородной среды, рассматриваемой как эквивалентная однородная.

Список использованной литературы

1. Аверьянов С.Ф. Борьба с засолением орошаемых земель. М.: «Колос», 1978.
2. Батурин Г.Е. К вопросу совершенствования организации службы эксплуатации коллекторно-дренажной сети. Сборник научн. тр. САНИИРИ. Т., 1987.
3. Белоусов А.Я. Некоторые вопросы повышения надежности погружных электронасосов типа ЭЦВ на скважинах вертикального дренажа в Узбекской ССР. – Труды САНИИРИ. Т., 1972.
4. Рошаль А.А. Методы определения миграционных параметров. М., 1980(ВИЭМС)
5. Худайкулов С.И., Каландаров А.Д. «Математические методы моделирования динамики дренажей и дренажных систем». Из-во «Дурдона», Бухара-2017. 130с.
6. Хамраев Ш.Р., Долидудко А.И. Влияние открытой коллекторно-дренажной сети на мелиоративное состояние орошаемых земель. «Advances in Science and Technology». Москва. - 2021. -С. 122-124.
7. Долидудко А.И. Повышение надежности эксплуатации открытой коллекторно-дренажной сети при улучшении мелиоративного состояния орошаемых земель. «Вестник мелиоративной науки». Коломна. - 2021. -№ 3. -С. 19-30.
8. Dolidudko A., Rakhimova M. Method of Increasing the Reliability of the Open Horizontal Drainage System For the Purpose of Managing the Melioration Regime of the Syrdarya Region //International Journal of Advanced Research in Science, Engineering and Technology. ISSN. – С. 2350-0328.